Volume 32 Number 4 The Chin DOI: 10.11817/j.ysxb.1004.0609.2022-37852

2022 年 4 月 April 2022



镍钼矿中钼、硫清洁回收工艺

唐施阳,杨建广,南天翔,龙 伟

(中南大学 冶金与环境学院,长沙 410083)

摘 要:针对贵州地区复杂镍钼矿难以清洁高效利用的问题,提出了碱性焙烧-净化-冷冻结晶-离子交换回收钼及副产物 Na_2SO_4 的清洁冶金工艺。采用单因素实验法,考察了碱性焙烧-浸出过程中 Na_2CO_3 用量、焙烧温度、焙烧时间、浸出温度和浸出时间等因素对钼浸出率和浸出液成分的影响,研究了冷冻结晶过程溶液中钼、硫含量对 Na_2SO_4 结晶率及产品纯度的影响。结果表明:在 Na_2CO_3 用量为理论用量的 1.2 倍、焙烧温度 800 $\mathbb C$ 、焙烧时间 1 h、浸出温度 95 $\mathbb C$ 、浸出时间 1 h的优化条件下,钼的总浸出率为 94.68%。经四次循环后,浸出液中钼浓度约为 40 g/L、硫浓度约为 90 g/L。对循环浸出液冷冻结晶,可得到结晶率为 89.61% 的 Na_2SO_4 。结晶母液经离子交换得到的高峰解析液中钼浓度可达 115 g/L 以上。

关键词: 镍钼矿; 清洁冶金; 冷冻结晶; Na,SO,回收; 钼回收

文章编号: 1004-0609(2022)-04-1078-10

中图分类号: TF84; TO115

文献标志码: A

引文格式: 唐施阳, 杨建广, 南天翔, 等. 镍钼矿中钼、硫清洁回收工艺[J]. 中国有色金属学报, 2022, 32(4): 1078-1087. DOI: 10.11817/j.ysxb.1004.0609.2022-37852

TANG Shi-yang, YANG Jian-guang, NAN Tian-xiang, et al. Clean recovering process of molybdenum and sulfur from nickel-molybdenum ores[J]. The Chinese Journal of Nonferrous Metals, 2022, 32(4): 1078 – 1087. DOI: 10.11817/j.ysxb.1004.0609.2022-37852

钼具有高强度、耐腐蚀、耐研磨的特点,广泛地应用于化工生产、医疗卫生及国防战略领域[1]。镍钼矿是广泛存在于中国中西部地区的一种多金属复杂矿,其贮量丰富,目前已探明的储量达937万t^[2]。从矿物学的角度分析,镍钼矿大多为沉积型黑色页岩^[3]。镍钼矿成分复杂,镍、钼主要以辉砷镍矿、针镍矿和无定形胶硫钼矿等物相形式存在。此外,镍钼矿中黄铁矿与镍矿、钼矿关系密切,三者通常紧密嵌含甚至共同构成鲕粒,使得原矿中的镍矿、钼矿与黄铁矿等矿之间分离困难,现有选矿技术得到的镍、钼精矿难以达到冶炼工艺对矿物的

要求[4-5]。

镍钼矿成分复杂且矿物嵌含密切,难以通过选矿的方式富集其中的有价组分,直接冶炼是现阶段处理该矿的主要方式,包括氧化焙烧-还原熔炼法^[6]、氧化焙烧-碱性浸出法^[7]、酸性体系氧压浸出法^[8]、NaOH氧化协同浸出法^[9]、碱性还原熔炼-水浸法^[10]等方法,以上方法各有其优势,但均存在有价金属回收率低、工艺流程冗长、废水量大、SO₂烟气难以回收利用、经济效益差等问题。开发一种清洁高效的处理镍钼矿的工艺对我国镍资源高效利用、环境保护有重要且深远的现实意义。

针对上述工艺的SO₂烟气难以利用、有价金属

基金项目: 国家重点研发专项课题资助项目(2018YFC1900403); 国家自然科学基金资助项目(52074362); 中南大学中央高校基本科研业务费专项资金资助项目(2020zzts479)

收稿日期: 2020-11-13; 修订日期: 2021-05-06

通信作者:杨建广,教授,博士;电话:0731-88830470; E-mail: jianguang_y@163.com

回收率低、废水量大等问题,本文作者提出碱性氧化焙烧-水浸-冷冻结晶-离子交换的工艺处理复杂镍钼矿。钼通过焙烧转化为NaMoO₄,再通过浸出和离子交换工艺制得钼酸铵产品。硫以硫酸钠产品的形式回收,避免了SO₂烟气的排放。镍等其他有价金属在浸出渣中富集。此外,矿物中存在的少量可溶性杂质则在净化工艺中除去。体系中的浸出液经离子交换后可重新返回水浸工艺,大大降低了废水的排放。本文作者提出的工艺具有有价金属回收效率高、其他金属富集效果好,工艺简单等优点,同时还解决了原矿中硫的资源化利用问题,是一种发展潜力较大且环境友好的新型工艺。

1 实验

1.1 实验原料、试剂及设备

试验所用镍钼矿来自于贵州遵义地区,经过筛后其粒度小于96 µm。原矿的主要元素含量和成分分别如表1和图1所示所示。由表1和图1可知,该区所产镍钼矿以硫化矿和脉石为主,其中主要金属元素为铁、硫、钼、镍、钙及少量铝、锌。镍钼矿中,钼主要以无定型物相即胶硫化钼形式存在,故图1中并无含钼衍射峰[11]。

表1 镍钼矿主要元素成分表

Table 1 Main elements of nickel molybdenum ore (mass fraction, %)

О	S	Fe	Si	Ca	Mo
28.58	13.11	12.80	18.39	7.24	4.10
Al	Ni	P		As	Zn
2.80	3.78	1.26		1.06	1.87

试验所用试剂无水碳酸钠、无水硫酸钠、钼酸钠、硫酸镁、硫酸铝(国药集团化学试剂有限公司)为分析纯,浸出液为去离子水(实验室自制),D318-III大孔弱碱型丙烯酸系阴离子交换树脂(安徽皖树化工有限公司)。

试验和检测设备包括: SX-10-12型马弗炉(天津市泰斯特仪器有限公司)、DF-101S型集热式磁力加热搅拌器(巩义市予华仪器有限公司)、BC-40立式恒温冷藏箱(深圳市先科电气有限公司)。Axios FASE型X射线荧光光谱仪(XRF,荷兰帕纳科公司),ELAN6000型电感耦合等离子体发射光谱仪

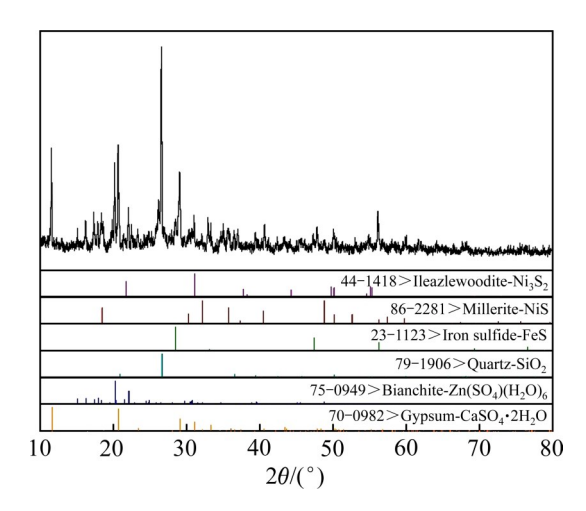


图1 镍钼矿原料的XRD谱

Fig. 1 XRD patterns of nickel molybdenum ore

(ICP-OES, 美国 Perkin-Elmer 公司), Rigaku3104型 X 射线衍射分析仪(XRD, 日本理学公司), Metrohm 861型连续双抑制型离子色谱仪(HPIC, 瑞士万通公司)。

1.2 实验原理和方法

1.2.1 实验原理

镍钼矿碱性焙烧过程的主要反应是金属硫化物与 Na_2CO_3 及 O_2 进行反应,生成相应的金属盐和硫酸钠,其主要反应方程式如方程(1)所示:

$$2MoS_{2}+6Na_{2}CO_{3}+9O_{2}=2Na_{2}MoO_{4}+4Na_{2}SO_{4}+6CO_{2} \uparrow$$
(1)

除主反应式(1)外,体系还可能发生的反应及 对应不同温度下吉布斯自由能如表2所示^[12]。

由表2可知,焙烧过程中镍钼矿中的金属硫化物会与Na₂CO₃及O₂反应生成相应的金属盐或金属氧化物。硫化钼经焙烧后转化为MoO₃或可溶性Na₂MoO₄,经过浸出进入浸出液中。杂质元素如铁、锌、镍和钙在焙烧后转化为复杂氧化铁、氧化锌、氧化镍和硫酸钙,这些物相难以浸出,因而与钼分离。焙砂经浸出后得到的浸出液中主要含有Na₂MoO₄及Na₂SO₄。

浸出过程中,原矿中的磷、砷、硅等杂质元素 也能被少量浸出。这些杂质元素的酸根离子在离子 交换过程中行为与钼酸根相似,降低钼酸铵产品的 纯度。为获得为高的钼酸铵纯度,需在离子交换工 艺之前对浸出液进行净化。对浸出液的净化可采用

表2 不同温度下焙烧过程可能发生的反应及对应吉布斯自由能

Table 2 Gibbs free energy of possible reactions in roasting process at different temperatures

Describe associan	$\Delta G/(\mathrm{kJ \cdot mol^{-1}})$		
Reaction equation	600 ℃	700 ℃	800 ℃
4FeS ₂ +8Na ₂ CO ₃ +15O ₂ =8Na ₂ SO ₄ +2Fe ₂ O ₃ +8CO ₂	-1268.8	-1240.7	-1213.1
$2 \text{MoS}_2 + 2 \text{FeS} + 6 \text{Na}_2 \text{CO}_3 + 13 \text{O}_2 = 2 \text{FeMoO}_4 + 6 \text{Na}_2 \text{SO}_4 + 6 \text{CO}_2$	-4173.8	-4051.4	-3929.8
$2 A s_2 S_3 + 12 N a_2 C O_3 + 14 O_2 = 4 N a_3 A s O_4 + 6 N a_2 S O_4 + 12 C O_2$	-2478.8	-2443.4	-2406.9
$ZnS+Na_2CO_3+2O_2=\!$	-628.6	-610.4	-592.3
$NiS+Na_2CO_3+2O_2 =\!$	-632.6	-613.8	-595.0
$SiO_2+Na_2CO_3=Na_2SiO_3+CO_2$	-36.1	-48.5	-60.7
$4\text{FeS}_2 + 8\text{CaCO}_3 + 15\text{O}_2 = 2\text{Fe}_2\text{O}_3 + 8\text{CO}_2 + 8\text{CaSO}_4$	-4838.73	-4714.89	-4592.41
$2\text{MoS}_2 + 6\text{CaCO}_3 + 9\text{O}_2 = \text{CaMoO}_4 + \text{CaSO}_4 + 3\text{CO}_2$	-2904.45	-2847.21	-2790.64

成熟的镁盐净化法,利用 Mg²⁺与杂质离子反应生成各自的镁盐沉淀,以去除杂质离子,其原理如方程式(2)~(5)所示^[13]:

 $3MgSO_4+2Na_2HPO_4=$

$$Mg_3(PO_4)_2 \downarrow +2Na_2SO_4 + H_2SO_4$$
 (2)

 $3MgSO_4+2Na_2HAsO_4=$

$$Mg_3(AsO)_2 \downarrow +2NaSO_4 + H_2SO_4$$
 (3)

$$H_2SO_4+Na_2SiO_3=H_2SiO_3\downarrow+Na_2SO_4$$
 (4)

$$MgSO_4 + Na_2CO_3 = MgCO_3 \downarrow + Na_2SO_4$$
 (5)

冷冻结晶回收 Na_2SO_4 利用了低温与高温下 Na_2SO_4 溶解度差异较大的特点制得 Na_2SO_4 产品,回收镍钼矿中的硫。此外,冷冻回收工艺降低了浸出液中,硫酸根的含量,有利于提高离子交换过程 所得到的钼酸铵的纯度^[14]。 Na_2MoO_4 、 Na_2SO_4 、 Na_2CO_3 的溶解度曲线如图 2 所示。

离子交换过程利用弱酸条件下钼的杂多酸根与 树脂中的氯离子交换,再用氨水作为解析剂,使树

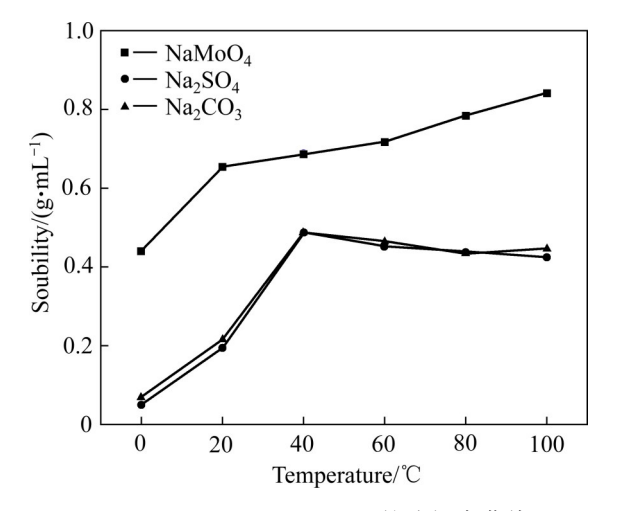


图2 Na₂MoO₄、Na₂SO₄、Na₂CO₃的溶解度曲线

Fig. 2 Solubility curves of Na₂MoO₄, Na₂SO₄ and Na₂CO₃

脂吸附的钼的杂多酸根进入解析液,其原理见方程式(6)所示^[15]。

$$Mo_xO_y^{(2y-6x)}+(2y-6x)R-C1 \rightarrow$$
 $R_{(2y-6x)}Mo_xO_y+(2y-6x)Cl^-$
1.2.2 实验方法

本研究所用工艺流程如图3所示,采用单因素条件试验对整个工艺流程进行参数优化,得出最佳工艺条件。同时,采用综合条件试验探究浸出过程各元素走向。碱性焙烧过程主要考察固硫剂(Na₂CO₃)用量、焙烧温度、及焙烧时间对后续钼浸出率的影响;浸出过程主要考察进出温度和浸出时间对钼浸出率的影响;冷冻结晶回收过程主要考察溶液成分对Na₂SO₄回收率的影响。硫酸钠结晶后

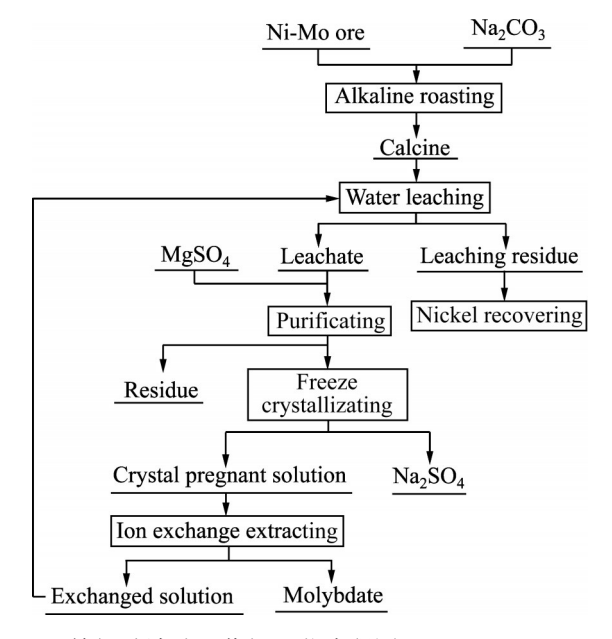


图3 镍钼矿清洁回收钼工艺流程图

Fig. 3 Flow chart of clean recovery of Mo from Ni-Mo ore

液可直接采用离子交换实现对钼的回收。

称取 50 g 镍钼矿并向其中加入适当比例的 Na₂CO₃,经充分混合后送入马弗炉中,在一定的 焙烧温度及焙烧时间下进行焙烧试验,焙烧完成后,回收焙砂并取样分析;称取一定质量的,加入 锥形瓶中,在一定的固液比、浸出温度和浸出时间下进行浸出,浸出完成后,回收浸出渣并取样分析。重复浸出过程完成循环浸出试验;待浸出液中 Na₂SO₄ 富集到一定浓度后,在适当温度下加入 MgSO₄除去其中的杂质离子。冷冻结晶试验采用模 拟液置于恒温冷藏柜中试验,并用除杂后的浸出液验证,对冷冻过程产生的结晶取样分析。硫酸钠结晶后液经 pH 调节后,采用 D318-III 树脂进行离子交换实现对钼的回收。试验过程中原料和各中间产物的物相结构和化学成分采用 XRD、XRF、ICPOES、HPIC等多种测试方法测试。

镍钼矿焙烧-水浸过程,中钼的浸出率按式(7) 计算:

$$L_{\text{Mo}} = \frac{\rho_{\text{Mo}} \times V}{w \times m} \times 100\% \tag{7}$$

式中: L_{Mo} 为钼的浸出率(%); ρ_{Mo} 为浸出液中钼的浓度(g/L); V为浸出液的体积(mL); w为原矿中钼的品位(%); m为原矿的质量(g)。

冷冻结晶中NaSO₄的结晶率按式(8)计算:

$$C_{\text{Na}_2\text{SO}_4} = \frac{m \times w}{V \times \rho_S} \times 100\% \tag{8}$$

式中: $C_{\text{Na}_2\text{SO}_4}$ 为硫酸钠的结晶率(%); m为干燥后 Na_2SO_4 的质量(g); w为结晶中硫的质量分数(%); V为除杂后液的体积(mL); ρ_s 为除杂后液中硫的浓度(g/L)。

2 结果与讨论

2.1 镍钼矿焙烧-浸出工艺

2.1.1 Na,CO,用量对钼浸出率的影响

在焙烧温度 750 °C、焙烧时间 2 h、浸出固液比 1:4 (g/mL,下同)、浸出温度 95 °C、浸出时间 2 h 的条件下考察 Na_2CO_3 用量分别为理论用量的 1.0 倍、1.1 倍、1.2 倍、1.3 倍时对钼浸出率和 CO_3^{2-} 浓度的影响。试验结果如图 4 所示。

由图4可知,随着Na₂CO₃用量从理论用量的1.0倍增加到1.1倍量时,钼的浸出率明显增加,从

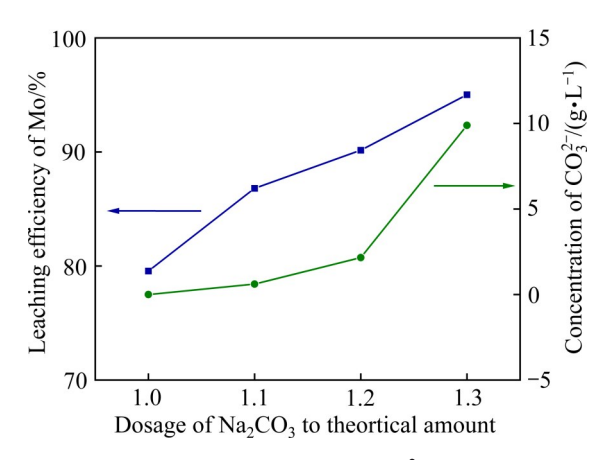


图4 Na_2CO_3 用量对Mo浸出率和 CO_3^{2-} 的影响

Fig. 4 Effect of Na₂CO₃ dosage on leaching efficiency of Mo and concentration of CO₃²⁻

79.56%增至86.81%, 当继续增加Na₂CO₃用量时, 钼的浸出率虽然有一定提升,但提升较缓。当 Na,CO,用量为理论用量的1.3倍时,钼的浸出率达 到最大,为95.02%。Na₂CO₃用量的逐渐增加溶液 中CO3-的浓度也逐渐增加,当Na2CO3用量为理论 用量的1.3倍时,溶液中CO3-浓度显著增加,达到 9.89 g/L。Na,CO,用量的增加会使得除杂过程消耗 过多的MgSO₄, Na₂CO₃的溶解性与Na₂SO₄相似, 不利于Na₂SO₄的冷冻结晶过程。原料中的SiO₂会 与Na,CO,反应而降低实际参与故硫反应的Na,CO, 的量。当Na₂CO₃用量为理论量时,原矿中的MoS₂ 无法完全转化为Na,MoO₄,仍有少部分钼以MoO₃ 的形式存在。在本研究所用的浸出体系下MoO3难 以直接浸出,故浸出率仅为79.56%。提高Na、CO、 用量能够提高焙烧过程中钼的转化率,同时焙烧过 程中过剩的Na,CO,也能提高浸出过程的碱度,有 利于钼的浸出。浸出液中少量的CO²-也能与难溶 性钼酸盐转化,提高钼的浸出率(方程式(9))。此 外,游离的CO3-也能够降低浸出液中Ca、Mg、 Zn等杂质元素的含量有利于浸出液的净化过程。 综合考虑,Na,CO,最佳用量为理论用量的1.2倍。

在 Na_2CO_3 用量为理论用量的1.2倍、焙烧时间 2 h、浸出固液比1:4、浸出温度 95 ℃、浸出时间 2 h 的条件下考察焙烧温度(分别为650 ℃、700 ℃、750 ℃、800 ℃时)对钼浸出率和 CO_3^2 浓度的影响,结果如图5 所示。

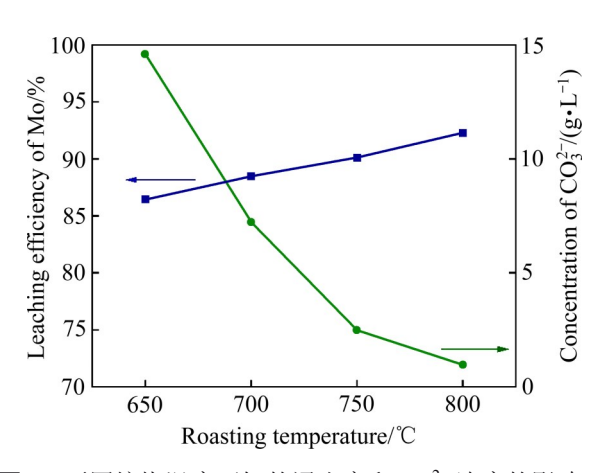


图5 不同焙烧温度下钼的浸出率和CO₃²-浓度的影响 Fig. 5 Effect of roasting temperature on leaching efficiency of Mo and concentration of CO₃²

由图 5 所示,当温度低于 700 ℃时,钼浸出率较低,不超过 90%。随着温度升高,钼的浸出率逐渐增加;当温度达到 800 ℃时,钼浸出率为92.29%。温度升高提高了原料中镍钼矿和 Na_2CO_3 的反应活性,有利于原料中过量的 Na_2CO_3 与镍钼矿中各种矿物的反应,促进原矿中钼向 Na_2MoO_4 的转化,从而提高浸出过程中钼的浸出率。此外,温度升高也有利于焙烧过程生成的各种难溶钼酸盐如 FeMoO4 的分解,生成相应的金属氧化物和 MoO_3 ,有利于后继浸出工艺。增加温度会提高钼浸出率,但 Na_2CO_3 的熔点温度为 851 ℃,当温度高于 851 ℃时, Na_2CO_3 会与原矿中其他物质混合成为共融体,使得熔点温度降低,生成熔锍,整体反应过程将发生变化,不符合理想低温焙烧过程,综合考虑,镍钼矿的最佳焙烧温度为 800 ℃

2.1.3 焙烧时间对钼浸出率的影响

在 Na_2CO_3 用量为理论用量的1.2倍、焙烧温度为800 ℃、浸出固液比1:4、浸出温度95 ℃、浸出时间2h的条件下考察焙烧时间(分别为0.5h、0.75h、1h、1.5h、2.0h时)对钼浸出率和 CO_3^{2-} 浓度的影响,其结果如图6所示。

由图6可知,随着焙烧时间继续增加,钼的浸出率先迅速上升再率略微下降。当焙烧时间为0.5 h时,溶液中CO₃-浓度较高,为7.4 g/L;随着焙烧时间的增加,溶液中钼浓度维持在9.4 g/L以上,CO₃-浓度为1.0 g/L。焙烧时间的适当延长将会使反应发生的更彻底,使得镍钼矿中的钼能够完全转

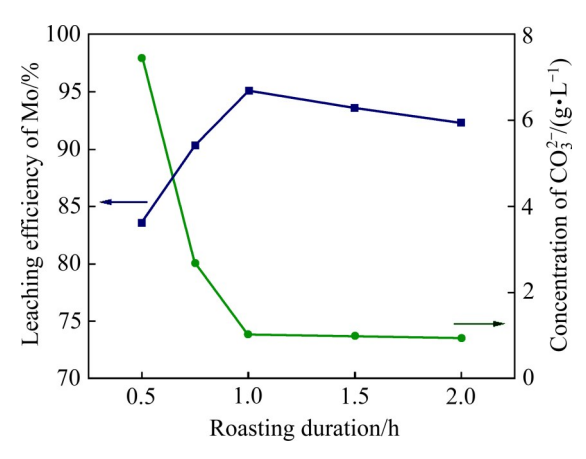


图6 焙烧时间对Mo浸出率和CO3-浓度的影响

Fig. 6 Effect of roasting time on leaching efficiency of Mo and concentration of CO_3^{2-}

化为Na₂MoO₄,从而提高钼的浸出率;当焙烧时间超过1h后,钼的浸出率缓慢降低。较长的焙烧时间增强了钼的挥发,降低了溶液中钼浓度。焙烧时间为1h时整体反应就已基本完成,综合考虑,镍钼矿的最佳焙烧时间为1h。

2.1.4 浸出温度对钼浸出率的影响

在 Na_2CO_3 用量为理论用量的1.2倍,焙烧温度为800 °、焙烧时间1 h,浸出固液比1:4,浸出时间2 h的条件下分别考察浸出温度在80 ° 、85 ° 、90 ° 20 ° 30 °

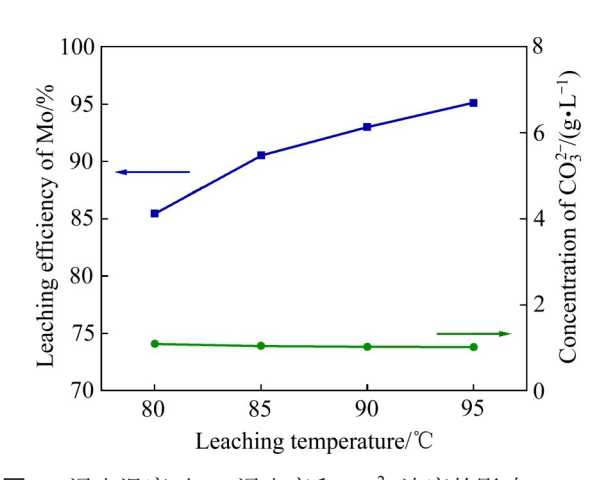


图7 浸出温度对Mo浸出率和CO₃²-浓度的影响 Fig. 7 Effect of leaching temperature on leaching efficiency of Mo and concentration of CO₃²-

由图7可知,钼的浸出率随着浸出温度的增加 而逐渐增加,当浸出达到95℃时,钼浸出率增长 至95.12%。随着浸出温度的增加溶液中钼浓度也 逐渐增加,而 CO_3^{2-} 浓度略有降低,一方面增加浸出温度使得 Na_2MoO_4 的溶解度逐渐增加,另一方面温度的提高也加快了 Na_2MoO_4 的浸出过程,,故钼浸出率和溶液中钼浓度增加。此外,温度的升高也有利于溶液中游离的 CO_3^{2-} 与焙砂中难溶性钼酸盐如 $CaMoO_4$ 、 $NiMoO_4$ 的转化,降低 CO_3^{2-} 的浓度也有利于钼的进出过程[16]。综合考虑,镍钼矿焙砂的最佳进出温度为95 $^{\circ}$ C。

2.1.5 浸出时间对钼浸出率的影响

在 Na_2CO_3 用量为理论用量的1.2倍,焙烧温度为800 °C,焙烧时间1 h,浸出固液比1:4,浸出温度为95 °C,条件下考察浸出时间(分别为0.5 h、0.45 h、1 h、1.5 h、2.0 h时)对钼浸出率和 CO_3^{2-} 浓度的影响。试验结果如图8 所示。

由图8可知,浸出时间对钼浸出率的影响并不显著,当浸出时间为0.5 h时,浸出率为91.41%;随着浸出时间增加,钼浸出率基本保持稳定。浸出

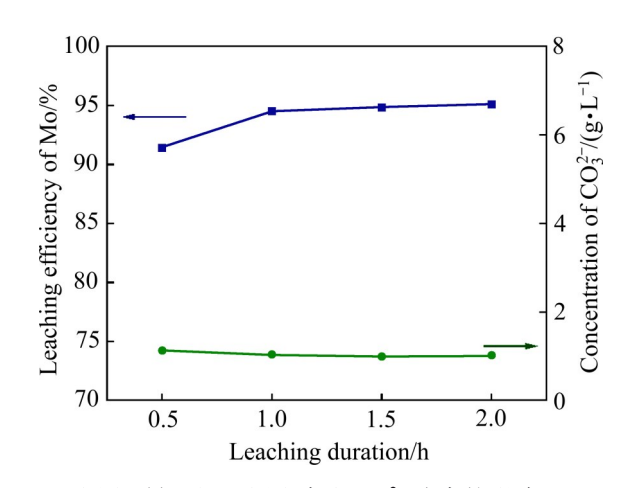


图8 浸出时间对Mo浸出率和 CO_3^2 浓度的影响

Fig. 8 Effect of leaching duration on leaching efficiency of Mo and concentration of CO_3^{2-}

时间从1h增长到2h时,溶液中钼浓度从9.6 g/L略有增长至9.7 g/L, CO₃-浓度则保持稳定。延长镍钼矿焙砂的进出时间,有利于难溶性钼酸盐的物相转换(方程(9))。因此,随着浸出时间从0.5 h延长至1.0 h,钼的浸出率有一定的上升,CO₃-的浓度有一定的降低。继续增加进出时间,钼的浸出率无明显提升。综合考虑,最佳浸出时间应为1 h。

2.1.6 综合条件试验

在 Na_2CO_3 用量为理论用量的1.2倍、焙烧温度为800 ° 、焙烧时间1 h、浸出固液比1:4、浸出温度为95 ° 、浸出时间为1 h时,循环浸出4 次以提高浸出液中钼的浓度。浸出液成分及各参数如表3 所示。

表3 综合条件试验浸出液的主要成分

 Table 3
 Main elements in leachate under comprehensive

 condition experiment

Composition	Mo	CO_3^{2-}	S
Concentration/ $(g \cdot L^{-1})$	38.81	4.13	89.04

综合条件试验结果表明,经过循环富集后溶液中钼达到38.81 g/L,硫浓度达到89.04 g/L。

焙烧后焙砂中还可能有 $FeMoO_4$ 、 $NiMoO_4$ 和其他难以直接浸出的物象,但该物相在碱性条件下可转化为可溶性 MoO_4^{2-} 和 $Fe(OH)_3^{[17]}$,然而镍钼矿结构和成分复杂,部分胶硫钼矿被黄铁矿完全包裹,或转化为 $CaMoO_4$ 等难以浸出的物象^[18],在后继浸出工艺中进入渣相。

对综合条件试验所得的实验结果进行元素平衡 分析,其结果如表4所示。

表4 综合条件实验焙烧-浸出过程物料平衡表

 Table 4
 Analysis of equilibrium during leaching under comprehensive condition

	· ·					
DI.	Content of	Content of	Concentration of Leaching equilibrium		1	
Element	Ni-Mo ore $(200 \text{ g}), w/\%$	residue (110.88 g), w/%	leachate (200 mL), $\rho/(g \cdot L^{-1})$	In residue/%	In leachate/%	Error/%
Mo	4.10	0.31	38.81	4.42	94.68	-0.90
S	13.31	7.56	89.04	32.63	65.76	-1.61
As	1.06	1.12	4.21	61.75	39.72	1.46
Si	16.39	27.43	1.53	97.80	0.93	-0.87
P	1.26	2.10	0.54	97.40	4.29	1.69

综合条件试验结果可知,镍钼矿中钼、硫将直接浸出;原矿中的硫基本进入溶液和渣相,固硫率接近100%。此外,原矿中部分磷、砷、硅等杂质在焙烧过程中会生成可溶性物相,进入浸出液中,需在后继工艺中净化。

2.2 浸出液净化工艺

将镍钼矿浸出液的 pH 调至 9 左右,在 98 $^{\circ}$ C 的 条件下,加入理论量 1.5 倍的 $MgSO_4$,反应 30 min,净化后的浸出液杂质含量见表 5 所示。

表5 净化后浸出液中杂质元素的含量

Table 5 Content of impurity element in purified leachate (concentration, g/L)

Mo	S	As	Si	P
37.94	90.43	0.011	0.015	0.012

净化结果表明,浸出液经净化后杂质元素含量低,主要杂质磷、砷、硅等基本除净,为后继冷冻结晶和离子交换过程提供了有利条件。

2.3 净化液提硫工艺

2.3.1 钼浓度对冷冻结晶过程的影响

在硫浓度为70 g/L(即 Na_2SO_4 浓度为310.63 g/L)、冷冻结晶温度4 \mathbb{C} 的条件下考察钼浓度分别为30、40、50和60 g/L 时对冷冻结晶过程的影响,其结果如图9所示。

由图9可知,随着钼浓度的增加,Na₂SO₄的结晶率先增加后下降,当钼浓度为40 g/L时,结晶率达到最大,为93.61%,此时结晶为长条状结晶。

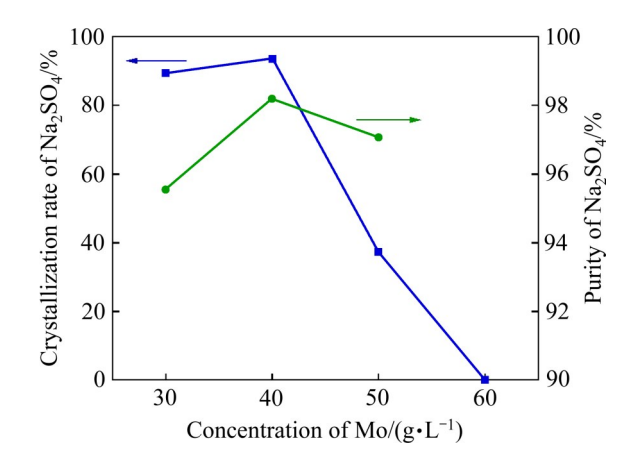


图9 Mo浓度对Na₂SO₄结晶率及纯度的影响

Fig. 9 Effect of Mo concentration on crystallization rate and purity of Na_2SO_4

继续增加浓度钼浓度至60 g/L时,溶液并无结晶产 生。经过分析后,所得产物Na,SO₄的纯度均大于 95%。出现无法结晶的原因是因为当溶液中钼含量 高于40 g/L时, 硫酸钠的晶核出现的过程变缓, 甚 至可能完全不产生晶核。 Na,MoO4的存在使得 Na₂SO₄的溶解度显著增加,在降低体系内Na₂SO₄ 过饱和度的同时也延长了Na,SO。成核的诱导期。 因此, Na,SO,结晶过程变缓, 甚至不能结晶; 当溶 液中钼含量高于60 g/L时, Na,MoO4使得Na,SO4的 极限饱和度增大,使得溶液中得Na,SO4过饱和度 无法达到第二介稳区,从而无法均相成核,同时钼 含量过高还可能增加界面能,这将导致成核过程所 需突破的吉布斯能量势垒过高, 从而降低成核 率[19]。另外,由于溶液中存在大量Na,MoO4,使得 一部分Na,MoO₄吸附于Na,SO₄表面,从而抑制了 Na₂SO₄的晶核产生及长大。综上所述,浸出液冷冻 结晶的最佳钼浓度为40 g/L。

2.3.2 硫浓度对冷冻结晶过程的影响

在钼浓度为 40 g/L(即 Na_2MoO_4 浓度为 85.83 g/L)、冷冻结晶温度为 4 ° 0的条件下,考察硫浓度 (分别为 60 g/L、70 g/L、80 g/L、90 g/L时)对冷冻结晶过程的影响,结果如图 10 所示。

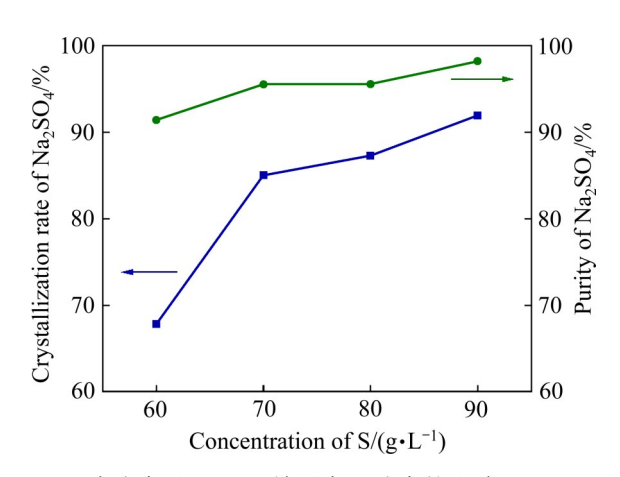


图10 硫浓度对Na,SO₄结晶率及纯度的影响

Fig. 10 Effect of S concentration on crystallization rate and purity of Na_2SO_4

由图10可知,随着硫浓度的增加,Na₂SO₄的结晶率及产物纯度均成上升趋势,当硫浓度达到90 g/L时,Na₂SO₄结晶率达到最大,为91.92%,同时产物纯度也最大,为98.21%。结合试验现象,随着硫含量的增加,结晶产物的质量有显著增加,当硫浓度为90 g/L时,在溶液体积为100 mL的条

件下,得到结晶产物 92.34 g,但经过干燥后仅 37.28 g,溶液体积剩余 52 mL。当溶液中Na₂SO₄含量过高时,冷却结晶的结晶率与理论结晶率相差较大。Na₂SO₄在冷冻结晶时优先生成 Na₂SO₄·10H₂O晶体,其结晶过程需大量游离态的水,此时溶液中溶剂水的总量随着 Na₂SO₄的结晶而逐渐降低,溶剂的减少也使得 Na₂SO₄在溶液中的溶解量降低,增大了硫酸钠在溶液中的过饱和度,促进了 Na₂SO₄在溶液中的结晶,从而使溶液体积减少。综合考虑,浸出液冷冻结晶硫的最佳浓度为 90 g/L。

2.3.3 冷冻结晶综合条件试验

在上述冷冻结晶分离 Na_2SO_4 试验所得的规律基础上,以净化后的浸出液为原料(硫浓度为90.43 g/L)进行冷冻结晶验证实验。在 4 \mathbb{C} 进行冷冻结晶 试验,得到 70.59 g 结晶产物,其成分如表 6 所示,结晶产物 XRD 谱如图 11 所示。

表6 综合条件试验冷冻结晶产物主要成分表

Table 6 Main elements and content of product under comprehensive condition (mass fraction, %)

О	S	Na	Mo
46.32	22.96	32.59	0.10

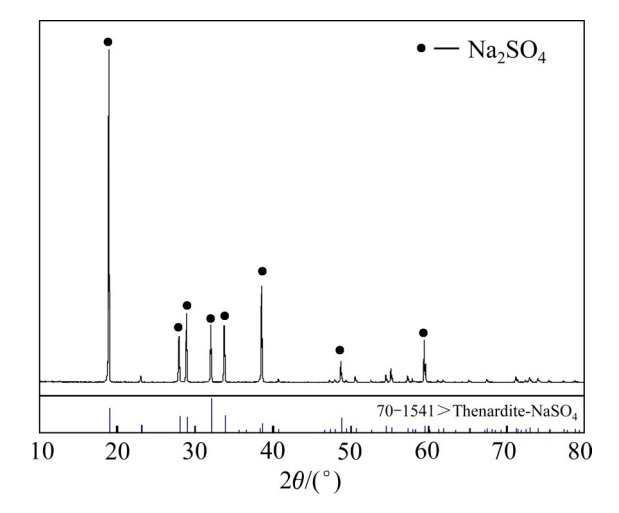


图11 结晶产物的 XRD 谱

Fig. 11 XRD patterns of crystal product

结合表 6 及图 11 可知,硫酸钠的结晶率为 89.61%,产物中含有少量杂质物质,主要以 Mo 的 化合物为主。 Na_2SO_4 结晶纯度较高,还可通过重结晶的方法进一步提高 Na_2SO_4 的纯度,同时回收其中的钼。

2.4 Na,SO4结晶后液提钼工艺

用 D318-III 树脂,在 pH 为 3,料液接触时间为 1 h,的条件下进行离子交换,并用 10%的氨水解析,对得到的解析液进行分析,得到的高峰解析液成分如表 7 所示。

表7 离子交换后高峰解析液的主要成分含量

Table 7 Content of main element in fastigium stripping aqueous during ion exchange (g/L)

Mo	S	Na
115.34	0.14	0.02

由表7可知,得到的高峰解析液中含钼可达到 115 g/L以上,杂质硫、钠的含量低,解析液含钼 高经蒸发结晶后可用于生产钼的各种产品。

3 结论

- 1) 钼回收的最佳工艺条件为: Na_2CO_3 用量为理论用量的 1.2 倍,焙烧温度为 800 °C,焙烧 1 h,浸出固液比 1:4,浸出温度为 95 °C,浸出时间为 1 h 的条件下循环浸出 4 次,在此工艺条件下钼浸出率达到 94.68%,浸出液中钼达到 38.81 g/L,硫浓度达到 89.04 g/L。
- 2) 利用 Na_2SO_4 在低温溶解度低的特点回收 Na_2SO_4 在工艺上是可行的。冷冻结晶过程是一个物理过程,受 Na_2MoO_4 的浓度影响较大。在钼含量约为 40~g/L、硫含量为 90~g/L,冷冻温度 4~C 的最佳条件下 Na_2SO_4 的结晶率为 89.61%。
- 3) 在溶液 pH 为 3、料液接触时间 1 h、解吸剂 为含 NH₃量 10% 氨水、解吸剂接触时间 1 h 的条件 下,对硫酸钠结晶后液进行离子交换,可以得到含 钼 115 g/L 以上的高峰解析液。

REFERENCES

- [1] 向铁根. 钼冶金[M]. 长沙: 中南大学出版社, 2002: 15-18. XIANG Tie-gen. Molybdenum metallurgy[M]. Changsha: Central South University Press, 2002: 15-18.
- [2] WANG Ming-shuang, WEI Chang, FAN Gang, et al. Molybdenum recovery from oxygen pressure water leaching residue of Ni-Mo ore[J]. Rare Metals, 2013, 32(2): 208–212.
- [3] WANG Ming-shuang, WEI Chang, FAN Gang, et al. Selective extraction of Mo from a Ni-Mo ore using pressure

- alkaline leaching[J]. Hydrometallurgy, 2015, 153(3): 6-11.
- [4] ZHAO Zhong-wei, LI Jiang-tao, CAO Cai-fang, et al. Recovery and purification of molybdenum from Ni-Mo ore by direct air oxidation in alkaline solution[J]. Hydrometallurgy, 2010, 103(1/2/3/4): 68-73.
- [5] 彭 俊, 王学文, 王明玉, 等. 从镍钼矿中提取镍钼的工艺 [J]. 中国有色金属学报, 2012, 22(2): 553-559. PENG Jun, WANG Xue-wen, WANG Ming-yu, et al. Extraction process of molybdenum and nickel from Ni-Mo ore[J]. The Chinese Journal of Nonferrous Metals, 2012, 22(2): 553-559.
- [6] PARK J O, KIM H S, JUNG S M. Use of oxidation roasting to control NiO reduction in Ni-bearing limonitic laterite[J]. Minerals Engineering, 2015, 71: 205–215.
- [7] 皮关华. 镍钼矿制备钼酸铵的研究[D]. 长沙: 中南大学, 2007. PI Guan-hua. Studies on preparing ammonium molybdate from Ni-Mo minerals[D]. Changsha: Central South University, 2007.
- [8] WANG Si-fu, WEI Chang, DENG Zhi-gang, et al. Extraction of molybdenum and nickel from Ni-Mo ore by pressure acid leaching[J]. Transactions of Nonferrous Metals Society of China, 2013, 23(10): 3083–3088.
- [9] WANG Ming-yu, WANG Xue-wen, LIU Wan-li. A novel technology of molybdenum extraction from low grade Ni-Mo ore[J]. Hydrometallurgy, 2009, 97(1/2): 126–130.
- [10] 陈 龙, 唐朝波, 陈永明, 等. 高碳镍钼矿碱性还原熔炼-水浸分离与提取镍钼[J]. 过程工程学报, 2018, 18(5): 981-988.
 - CHEN Long, TANG Chao-bo, CHEN Yong-ming, et al. Separation and extraction of nickel and molybdenum by alkaline reduction smelting-water leaching from high carbon Ni-Mo ore[J]. The Chinese Journal of Process Engineering, 2018, 18(5): 981–988
- [11] 朱 军, 王彦君, 李营生. 高碳镍钼矿的浸出试验研究[J]. 矿冶工程, 2009, 29(2): 75-78.

 ZHU Jun, WANG Yan-jun, LI Ying-sheng. Experimental study on leaching of high carbon nickel-molybdenum ore[J]. Mining and Metallurgical Engineering, 2009, 29(2): 75-78.
- [12] 叶大伦, 胡建华. 实用无机物热力学数据手册[M]. 2版 北

- 京: 冶金工业出版社, 2002: 33-44.
- YE Da-lun, HU Jian-hua. Handbook of practical inorganic thermodynamics data[M]. Beijing: Metallurgical Industry Press, 2002: 33–44.
- [13] 张启修,赵秦生.钨钼冶金[M].北京:冶金工业出版社, 2005:116-120.
 - ZHANG Qi-xiu, ZHAO Qin-sheng. Molybdenum and tungsten metallurgy[M]. Beijing: Metallurgical Industry Press, 2005: 116–120.
- [14] ESPINOSA-MARZAL R M, SCHERER G W. Crystallization of sodium sulfate salts in limestone[J]. Environmental Geology, 2008, 56(3/4): 605–621.
- [15] 李青刚, 张启修, 肖连生. 离子交换树脂吸附镍钼矿氯浸液中钼的研究[J]. 稀有金属, 2007, 31(3): 351-356.
 - LI Qing-gang, ZHANG Qi-xiu, XIAO Lian-sheng. Adsorption of molybdenum from chlorination leaching solution of Ni-Mo ore by ion-exchange[J]. Chinese Journal of Rare Metals, 2007, 31(3): 351–356.
- [16] 甘 敏, 范晓慧, 张 麟, 等. 低品位钼精矿氧化焙烧过程的 反应行为[J]. 中国有色金属学报, 2014, 24(12): 3115-3122. GAN Min, FAN Xiao-hui, ZHANG Lin, et al. Reaction behavior of low grade molybdenum concentrates in oxidation roasting process[J]. The Chinese Journal of Nonferrous Metals, 2014, 24(12): 3115-3122.
- [17] 李青刚. 从镍钼矿中制取钼酸铵的研究[D]. 长沙: 中南大学, 2010.
 LI Qing-gang. Study of production ammonium molybdate from Ni-Mo ore [D]. Changsha: Central South University, 2010.
- [18] 胡岳华, 孙 伟, 王 丽. 黑色岩系石煤钒矿和镍钼矿的选矿[M]. 长沙: 中南大学出版社, 2015: 38-41.

 HU Yue-hua, SUN Wei, WANG Li. Beneficiation of V-bearing stone coal and Ni-Mo ore in black shale series[M]. Changsha: Central South University Press, 2015: 38-41.
- [19] MARLIACY P, SOLIMANDO R, BOUROUKBA M, et al. Thermodynamics of crystallization of sodium sulfate decahydrate in H₂O-NaCl-Na₂SO₄: application to Na₂SO₄·10H₂O-based latent heat storage materials[J]. Thermochimica Acta, 2000, 344(1/2): 85–94.

Clean recovering process of molybdenum and sulfur from nickel-molybdenum ores

TANG Shi-yang, YANG Jian-guang, NAN Tian-xiang, LONG Wei

(School of Metallurgy and Environmental, Central South University, Changsha 410083, China)

Abstract: The Ni-Mo ore is a kind of refractory ore, which has been neglected for several decades, due to the absence of an efficient treatment process. In this paper, a metallurgy process including alkaline roasting, purification, freezing crystallization, and ion exchange for extraction of molybdenum and Na₂SO₄ from Ni-Mo ore has been proposed. The effects of Na₂CO₃ dosage, roasting temperature, roasting duration, leaching temperature and leaching duration on the leaching efficiency of molybdenum and the composition of the leachate were investigated by single-factor experiment. In addition, the effects of the concentration of molybdenum and sulfur in the leachate on the crystallization efficiency and purity of Na₂SO₄ were studied. The result shows the leaching efficiency of molybdenum is 94.68% with the optimal conditions in roasting-leaching process of the dosage of Na₂CO₃ is 1.2 times of the theoretical amount, the roasting temperature of 800 °C, the roasting duration of 1 h, and the leaching temperature of 95 °C. The purity of Na₂SO₄ produced by freezing crystallization process is 97.45% with the optimum condition of the concentration of molybdenum about 40 g/L and sulfur about 90 g/L. The concentration of molybdenum in stripping aqueous is 115 g/L, which is obtained by ion exchange.

Key words: Ni-Mo ore; clean metallurgy; freezing crystallization; Na,SO₄ recovery; molybdenum recovery

Foundation item: Project(2018YFC1900403) supported by the National Key Research and Development Program of China; Project(52074362) supported by the National Natural Science Foundation of China; Project(2020zzts479) supported by the Fundamental Research Funds for the Central Universities of Central South University, China

Received date: 2020-11-13; Accepted date: 2021-05-06

Corresponding author: YANG Jian-guang; Tel: +86-731-88830470; E-mail: jianguang_y@163.com

(编辑 龙怀中)